

## 1,2-环己二羧酸及芳香含氮配体的双核镉、 锰配合物的合成和晶体结构

田婧 董丽娜 赵凯 李夏\*

(首都师范大学化学系, 北京 100048)

**摘要:** 用水热法合成了两种新的配合物 $[Cd_2(e,e\text{-}trans\text{-}chdc)_2(bipy)_2(H_2O)_2]\cdot H_2O$  (**1**) 和 $[Mn_2(e,a\text{-}cis\text{-}chdc)_2(phen)_2(H_2O)_2]\cdot 2H_2O$  (**2**) ( $chdc=1,2\text{-}环己二羧酸}$ ,  $bipy=2,2'\text{-联吡啶}$  和  $phen=1,10\text{-邻菲咯啉}$ ), 用X射线单晶衍射分析确定了配合物的晶体结构。配合物**1**和**2**均为双核分子。配合物**1**中, 2个镉(II)离子由2个1,2-环己二羧酸根以 $e,e\text{-}trans$ 配位方式桥联, 每个镉(II)离子与1个2,2'-联吡啶的2个氮原子、2个1,2-环己二羧酸根的4个氧原子及1个水分子中的氧原子配位, 形成了单帽变形三棱柱构型。配合物**2**中, 2个锰(II)离子由2个1,2-环己二羧酸根以 $e,a\text{-}cis$ 配位方式桥联, 每个锰(II)离子与1个1,10-邻菲咯啉的2个氮原子、2个1,2-环己二羧酸根的3个氧原子及1个水分子中的氧原子配位, 形成了畸变的八面体构型。配合物**1**和**2**分子之间都存在 $\pi\text{-}\pi$ 堆积和 $O\text{-}H\cdots O$ 、 $C\text{-}H\cdots O$ 弱作用, 进而将双核分子连接成三维超分子网络结构。配合物的荧光均来自于配体的荧光。

**关键词:** 双核配合物; 1,2-环己二羧酸; 晶体结构

中图分类号: O614.71<sup>+</sup>1; O614.24<sup>+</sup>2

文献标识码: A

文章编号: 1001-4861(2012)01-0113-06

## Synthesis and Crystal Structure of Binuclear Cadmium and Manganese Complexes with 1,2-Cyclohexanedicarboxylic Acid and Aromatic N-containing Ligands

TIAN Jing DONG Li-Na ZHAO Kai LI Xia\*

(Department of Chemistry, Capital Normal University, Beijing 100048, China)

**Abstract:** Two compounds,  $[Cd_2(e,e\text{-}trans\text{-}chdc)_2(bipy)_2(H_2O)_2]\cdot H_2O$  (**1**) and  $[Mn_2(e,a\text{-}cis\text{-}chdc)_2(phen)_2(H_2O)_2]\cdot 2H_2O$  (**2**) ( $chdc=1,2\text{-}环己二羧酸}$ ,  $bipy=2,2'\text{-联吡啶}$  和  $phen=1,10\text{-邻菲咯啉}$ ), have been obtained by hydrothermal method and characterized by X-ray single-crystal diffraction. The two complexes are binuclear complexes. In complex **1**, two Cd(II) cations are bridged by 1,2-chdc with  $e,e\text{-}trans$ -conformation. Each Cd(II) cation is seven-coordinated to two nitrogen atoms of bipy molecule, four oxygen atoms of two 1,2-chdc ligands and one oxygen atom of water molecule, forming distorted mono-capped trigonal-prism. In complex **2**, two Mn(II) cations are bridged by 1,2-chdc with  $e,a\text{-}cis$ -conformation. Each Mn(II) cation is six-coordinated to two nitrogen atoms of phen molecule, three oxygen atoms of two 1,2-chdc ligands and one oxygen atom of water molecule, forming distorted octahedron coordination environment. The  $\pi\text{-}\pi$  stacking and  $O\text{-}H\cdots O$  and  $C\text{-}H\cdots O$  hydrogen bonds in the two complexes result in 3D supramolecular networks. Fluorescence spectra of the two complexes are assigned to  $\pi^*\text{-}\pi$  of ligand. CCDC: 815211, **1**; 815212, **2**.

**Key words:** binuclear complex; 1,2-cyclohexanedicarboxylic acid; crystal structure

收稿日期: 2011-04-28。收修改稿日期: 2011-08-30。

国家自然科学基金(No.21071101)资助项目。

\*通讯联系人。E-mail: xiali@mail.cnu.edu.cn

## 0 引言

金属-有机羧酸配合物因其多样的结构及独特的光电磁性质，成为配位化学领域研究的热点之一，在发光、磁性及催化等诸多领域具有潜在的应用前景<sup>[1-5]</sup>。目前已有大量的羧酸配合物被合成和研究<sup>[1-22]</sup>。其中多元羧酸金属配合物大多呈现聚合结构，如一维链状、二维层状、三维网状以及微孔、螺旋和穿插结构<sup>[4-22]</sup>，这是由于多羧酸基的多种配位方式造成的。环己二羧酸(H<sub>2</sub>chdc)是一种柔性的二元羧酸，羧酸中的2个羧基存在着顺反异构，可以从不同的方向连接金属离子，构型自由多变。1,3-和1,4-环己二羧酸的金属配合物已有大量报道<sup>[10-20]</sup>，1,2-环己二羧酸(1,2-chdc)的配合物报道的比较少<sup>[18-22]</sup>，可能由于1,2-位空间位阻的影响，导致配合物的合成困难。如Inn Hoe Kim等人合成了配合物In(OH)(1,2-chdc)<sup>[18]</sup>。Rao课题组组合成了镉和锰的配合物<sup>[19-20]</sup>。陈小明课题组报道了一个夹心型配合物[Co<sub>3</sub>(μ<sup>3</sup>-OH)<sub>2</sub>(1,2-chdc)<sub>2</sub>]<sup>[21-22]</sup>。我们选用1,2-环己二羧酸(chdc)为第一配体，2,2'-联吡啶(bipy)或1,10-邻菲咯啉(phen)为辅助配体，通过水热法合成了双核配合物[Cd<sub>2</sub>(e,e-trans-chdc)<sub>2</sub>(bipy)<sub>2</sub>(H<sub>2</sub>O)<sub>2</sub>]·H<sub>2</sub>O (**1**)和[Mn<sub>2</sub>(e,a-cis-chdc)<sub>2</sub>(phen)<sub>2</sub>(H<sub>2</sub>O)<sub>2</sub>]·2H<sub>2</sub>O (**2**)。本文报道配合物的合成、晶体结构、荧光性质和热稳定性。

## 1 实验部分

### 1.1 试剂和仪器

1,2-环己二羧酸，2,2'-联吡啶，1,10-邻菲咯啉，八水合硫酸镉、四水合醋酸锰均为分析纯试剂。

Bruker Smart 1000CCD单晶衍射仪，室温296(2)K，石墨单色化Mo Kα射线( $\lambda=0.071\text{073 nm}$ )为光源；德国Elementar公司Vario EL III型元素分析仪；利用KBr压片技术通过Bruker EQUINOX-55红外光谱仪在4000~400 cm<sup>-1</sup>范围内进行扫描得配合物的红外光谱；室温固体荧光光谱在日立F-4500 FL

Spectrophotometer上测试。WCT-1A型微热-差热天平(北京光学仪器厂)，以Al<sub>2</sub>O<sub>3</sub>为参比，空气气氛中，升温速度为10 °C·min<sup>-1</sup>，由室温到1000 °C范围记录配合物的差热-热重分析。

### 1.2 配合物的合成

#### 1.2.1 配合物**1**的合成

取0.067 mmol 3CdSO<sub>4</sub>·8H<sub>2</sub>O、0.2 mmol 1,2-环己二羧酸和0.1 mmol 2,2'-联吡啶，溶于5 mL去离子水，置于25 mL反应釜中，用2.0 mol·L<sup>-1</sup> NaOH溶液调节该混合溶液的pH值为5~6，密封，160 °C加热3 d，再缓慢降温至室温，过滤得到白色透明块状晶体，产率约为40%。元素分析按C<sub>36</sub>H<sub>42</sub>Cd<sub>2</sub>N<sub>4</sub>O<sub>11</sub>(931.56)计算值(%)：C 46.42，H 4.54，N 6.01；实测值(%)：C 46.23，H 4.46，N 6.14。IR主要吸收峰(cm<sup>-1</sup>)为：3 368(w)、2 933(m)、1 584(vs)、1 417(vs)、1 339(w)、1 286(m)、1 019(m)、773(vs)、736(m)、627(w)。

#### 1.2.2 配合物**2**的合成

配合物**2**的制取方法同配合物**1**，用Mn(CH<sub>3</sub>COO)<sub>2</sub>·4H<sub>2</sub>O代替3CdSO<sub>4</sub>·8H<sub>2</sub>O，用1,10-邻菲咯啉代替2,2'-联吡啶，得到黄色透明块状晶体，产率约为46%。元素分析按C<sub>40</sub>H<sub>44</sub>Mn<sub>2</sub>N<sub>4</sub>O<sub>12</sub>(882.67)计算值(%)：C 54.43，H 5.02，N 6.35；实测值(%)：C 54.37，H 5.31，N 6.11。IR主要吸收峰(cm<sup>-1</sup>)为：3 408(w)、2 849(w)、1 515(vs)、1 425(vs)、1 303(m)、1 100(w)、857(m)、731(m)、637(w)。

### 1.3 晶体结构测定

选取合适大小的单晶，在X-射线单晶衍射仪上收集衍射强度数据。晶体结构由直接法解出<sup>[23]</sup>，所有非氢原子坐标采用直接法和差值傅立叶合成法获得。对全部非氢原子坐标及各向异性热参数基于F<sup>2</sup>进行全矩阵最小二乘法精修<sup>[24]</sup>。水分子上的氢原子通过差值傅立叶合成法获得，其余氢原子均为理论加氢。主要晶体学数据列于表1，主要键长和键角列于表2中。

CCDC:815211, **1**; 815212, **2**。

表1 配合物**1**和**2**的晶体学数据

Table 1 Crystallographic data of complexes **1** and **2**

Complex	<b>1</b>	<b>2</b>
Empirical formula	C <sub>36</sub> H <sub>42</sub> Cd <sub>2</sub> N <sub>4</sub> O <sub>11</sub>	C <sub>40</sub> H <sub>44</sub> Mn <sub>2</sub> N <sub>4</sub> O <sub>12</sub>
Formula weight	931.54	882.67
Crystal size / mm	0.28×0.18×0.10	0.32×0.25×0.10
Temperature / K	293(2)	103(2)

续表1

Wavelength / nm	0.071 073	0.071 073
Crystal system	Triclinic	Triclinic
Space group	$P\bar{1}$	$P\bar{1}$
$a$ / nm	0.872 4(3)	0.876 6(3)
$b$ / nm	1.057 47(16)	1.061 5(4)
$c$ / nm	1.144 06(17)	1.069 6(3)
$\alpha$ / (°)	112.891(2)	104.561(4)
$\beta$ / (°)	106.006(3)	92.268(5)
$\gamma$ / (°)	95.766(3)	101.951(3)
$V$ / nm <sup>3</sup>	0.908 5(4)	0.938 0(5)
$Z$	1	1
$D_c$ / (Mg·m <sup>-3</sup> )	1.703	1.563
$\mu$ / mm <sup>-1</sup>	1.237	0.746
$F(000)$	470	458
$\theta$ / (°)	2.15~25.49	3.19~27.49
Limiting indices	$-10 \leq h \leq 10, -12 \leq k \leq 12, -13 \leq l \leq 13$	$-11 \leq h \leq 11, -13 \leq k \leq 13, -13 \leq l \leq 13$
Reflections collected / unique ( $R_{int}$ )	4 713 / 3 329 (0.025 1)	4 222 / 3 501 (0.023 7)
Data / restraints / parameters	3 329 / 6 / 253	4 222 / 3 / 280
Goodness-of-fit on $F^2$	1.054	0.999
Final $R$ indices ( $I > 2\sigma(I)$ )	$R_i=0.035\ 1, wR_2=0.073\ 9$	$R_i=0.032\ 0, wR_2=0.075\ 3$
Final $R$ indices (all data)	$R_i=0.044\ 0, wR_2=0.077\ 8$	$R_i=0.042\ 0, wR_2=0.078\ 6$
Largest diff. peak and hole / (e·nm <sup>-3</sup> )	511, -673	420, -336

表2 配合物1和2的主要键长和键角

Table 2 Selected bond lengths (nm) and bond angles (°) for complexes 1 and 2

1					
Cd(1)-N(1)	0.232 3(3)	Cd(1)-N(2)	0.232 1(3)	Cd(1)-O(1)	0.248 6(3)
Cd(1)-O(2)	0.234 7(3)	Cd(1)-O(3)A	0.234 8(3)	Cd(1)-O(4)A	0.252 6(3)
Cd(1)-O(5)	0.232 9(3)				
O(1)-Cd(1)-O(2)	53.79(9)	O(1)-Cd(1)-O(3)A	137.24(1)	O(1)-Cd(1)-O(4)A	157.90(1)
O(1)-Cd(1)-O(5)	81.74(1)	O(1)-Cd(1)-N(1)	88.72(1)	O(1)-Cd(1)-N(2)	95.54(1)
O(2)-Cd(1)-O(3)A	83.76(1)	O(2)-Cd(1)-O(4)A	133.33(9)	O(2)-Cd(1)-O(5)	92.45(1)
O(2)-Cd(1)-N(1)	140.84(1)	O(2)-Cd(1)-N(2)	98.94(1)	O(3)A-Cd(1)-O(4)	53.40(1)
O(3)A-Cd(1)-O(5)	96.85(1)	O(3)A-Cd(1)-N(1)	133.90(1)	O(3)A-Cd(1)-N(2)	96.01(1)
O(4)A-Cd(1)-O(5)	77.24(1)	O(4)A-Cd(1)-N(1)	85.58(1)	O(4)A-Cd(1)-N(2)	102.72(1)
O(5)-Cd(1)-N(1)	92.74(1)	O(5)-Cd(1)-N(2)	163.66(1)	N(2)-Cd(1)-N(1)	71.05(1)
2					
Mn(1)-N(1)	0.229 0(1)	Mn(1)-N(2)	0.224 8(1)	Mn(1)-O(1)	0.226 2(1)
Mn(1)-O(2)	0.223 3(1)	Mn(1)-O(3)A	0.212 9(1)	Mn(1)-O(5)	0.214 5(1)
O(1)-Mn(1)-O(2)	58.36(4)	O(1)-Mn(1)-O(3)A	98.07(5)	O(1)-Mn(1)-O(5)	157.03(5)
O(1)-Mn(1)-N(1)	87.35(5)	O(1)-Mn(1)-N(2)	98.26(5)	O(2)-Mn(1)-O(3)A	106.33(5)
O(2)-Mn(1)-O(5)	98.68(5)	O(2)-Mn(1)-N(1)	88.81(5)	O(2)-Mn(1)-N(2)	151.70(5)
O(3)A-Mn(1)-O(5)	88.95(5)	O(3)A-Mn(1)-N(1)	164.60(5)	O(3)A-Mn(1)-N(2)	91.67(5)
O(5)-Mn(1)-N(1)	91.58(5)	O(5)-Mn(1)-N(2)	103.40(5)	N(2)-Mn(1)-N(1)	73.24(5)

Symmetry transformations used to generate equivalent atoms: 1: A: 1-x, 1-y, 2-z; 2: A: 1-x, 1-y, -z.

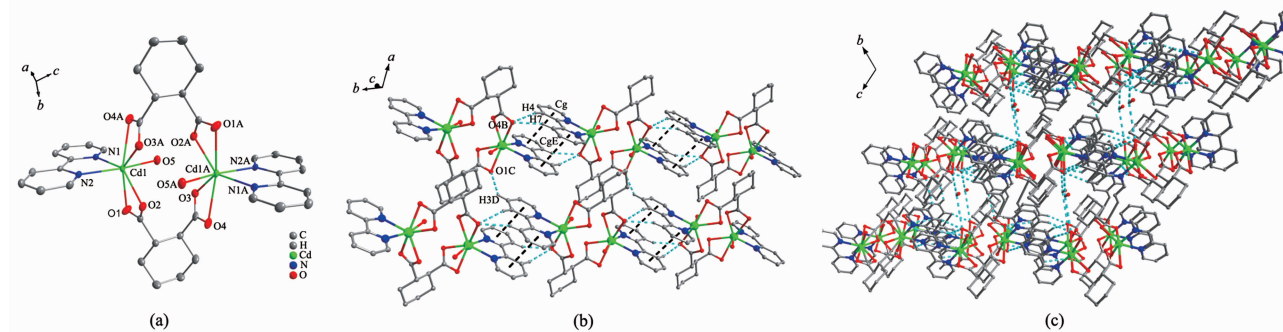
## 2 结果与讨论

### 2.1 配合物 1 的晶体结构

配合物 1 是由双核分子  $\text{Cd}_2(e,e\text{-}trans\text{-chdc})_2(\text{bipy})_2(\text{H}_2\text{O})_2$  和 1 个晶格水分子构成(图 1a)。分子中的 2 个镉(II)离子由 2 个 1,2-环己二羧酸根以  $e,e\text{-}trans$ (1111)配位方式桥联。每 1 个镉(II)离子与 1 个 2,2'-联吡啶的 2 个氮原子、2 个 1,2-环己二羧酸根的 4 个氧原子及 1 个水分子中的氧原子配位,形成了七配位单帽变形三棱柱结构。帽被羧基氧原子 O<sub>3A</sub> 占据,原子 O<sub>4A</sub>,N<sub>1</sub>,N<sub>2</sub> 和 O<sub>1</sub>,O<sub>2</sub>,O<sub>5</sub> 分别组成三棱柱的上底和下底。上下平面之间的二面角是  $14.27(1)^\circ$ 。Cd-O(羧基)的键长范围为  $0.234\,7(3)\sim0.252\,6(3)$  nm,平均键长为  $0.242\,6(8)$  nm。Cd-N 的键长范围为  $0.232\,1(3)\sim0.232\,3(3)$  nm,平均键长为

$0.232\,2$  nm。Cd-O(水分子)的键长为  $0.232\,9(3)$  nm。O-Cd-O 的键角范围为  $53.40(1)^\circ\sim157.90(1)^\circ$ , N-Cd-N 的键角为  $71.05(1)^\circ$ 。

相邻双核分子的吡啶环之间存在着面-面间的  $\pi\text{-}\pi$  堆积作用,质心距离为  $0.359\,1$  nm,两平面垂直距离为  $0.344\,6$  nm,平面之间的夹角为  $0^\circ$ 。配合物分子中的 2,2'-联吡啶分子和相邻配合物中的 1,2-环己二羧酸的羧基氧原子间存在着 C-H $\cdots$ O 氢键,C4-H4 $\cdots$ O4<sup>B</sup>,C7-H7a $\cdots$ O4<sup>B</sup> 和 C3<sup>D</sup>-H3<sup>D</sup> $\cdots$ O1<sup>C</sup>(对称操作  $^Bx,y-1,z-1; ^C-x,-y,1-z; ^D1+x,y,z$ )。分子之间的弱作用,将配合物分子连接成层状结构(图 1b)。另外,晶格水分子与 1,2-环己二羧酸根的羧基形成了氢键,O6W-H6Wa $\cdots$ O4<sup>A</sup>(对称操作  $^A-x+1,-y+1,-z+2$ ),此氢键进一步将配合物分子构筑成三维超分子网状结构(图 1c)。氢键的相关数据列于表 3 中。



Thermal ellipsoid plot of 30% level, all hydrogen atoms and free  $\text{H}_2\text{O}$  molecular are omitted for clarity in (a); Symmetry code, A:  $1-x, 1-y, 2-z$ ; B:  $x, -1+y, -1+z$ ; C:  $-x, -y, 1-z$ ; D:  $1+x, y, z$ ; E:  $1-x, -y, 1-z$

图 1 (a) 配合物 1 的分子结构; (b) 分子之间的 C-H $\cdots$ O 氢键和  $\pi\text{-}\pi$  弱作用; (c) 配合物 1 的三维结构

Fig.1 (a) Molecular structure of 1; (b) C-H $\cdots$ O hydrogenbonds and  $\pi\text{-}\pi$  interactions between neighboring molecules; (c) 3D structure of 1

表 3 配合物 1 和 2 的氢键数据

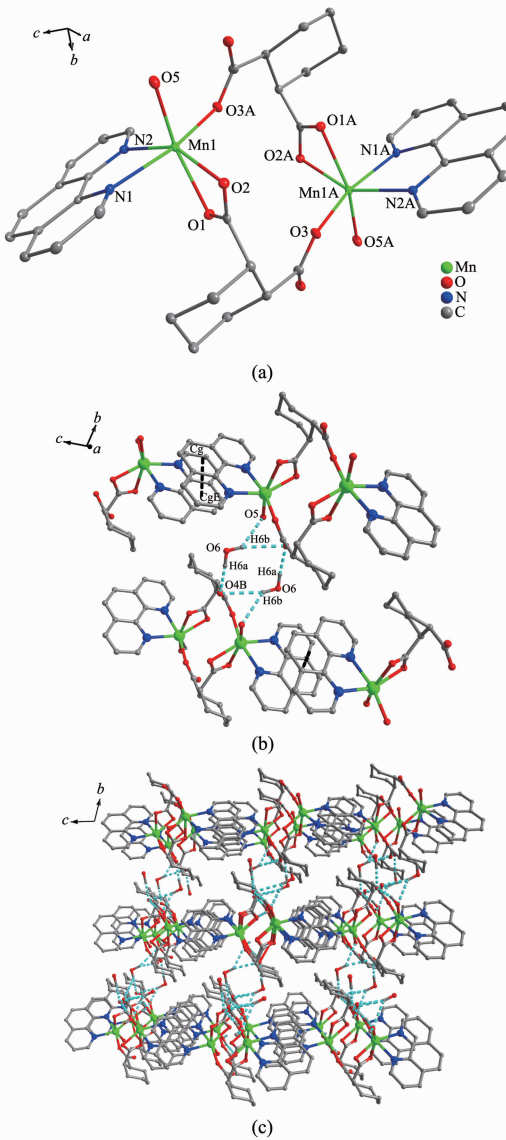
Table 3 Structural parameters of hydrogen bonds for complexes 1 and 2

D-H $\cdots$ A	$d(\text{D-H})/\text{nm}$	$d(\text{H}\cdots\text{A})/\text{nm}$	$d(\text{D}\cdots\text{A})/\text{nm}$	$\angle \text{DHA}/(^\circ)$
<b>1</b>				
C3D-H3D $\cdots$ O1C	0.093 0	0.242 4	0.311 5(6)	130.96
C4-H4 $\cdots$ O4B	0.093 0	0.248 8	0.337 4(5)	159.08
C7-H7a $\cdots$ O4B	0.093 0	0.247 9	0.336 3(6)	158.71
O6-H6a $\cdots$ O4A	0.085 8	0.212 8	0.293 9(2)	163.08
<b>2</b>				
O5-H5b $\cdots$ O2C	0.085 8	0.183 9	0.269 4(2)	174.18
O6-H6a $\cdots$ O4B	0.094 0	0.192 0	0.286 0(2)	173.88
O6-H6b $\cdots$ O4B	0.086 2	0.181 3	0.262 9(2)	159.75
O6-H6b $\cdots$ O5	0.096 0	0.254 0	0.331 2(2)	137.31

Symmetry transformations used to generate equivalent atoms: 1: A:  $1-x, 1-y, 2-z$ ; B:  $x, y-1, z-1$ ; C:  $-x, -y, 1-z$ ; D:  $1+x, y, z$ ; 2: A:  $1-x, 1-y, -z$ ; B:  $x-1, y-1, z$ ; C:  $-x, -y+1, -z$ .

## 2.2 配合物 2 的晶体结构

配合物 **2** 是由双核分子  $Mn_2(e,a\text{-}cis\text{-}chdc)_2(\text{phen})_2(\text{H}_2\text{O})_2$  和 2 个晶格水分子构成(图 2a)。配合物分子中的 2 个锰(II)离子由 2 个 1,2-环己二羧酸根以 *e,a-cis*(1110) 配位方式桥联。每 1 个锰(II)离子与 1 个 1,10-邻菲咯啉的 2 个氮原子、2 个 1,2-环己二羧酸根的 3 个氧原子及 1 个水分子中的氧原子配位, 形成了六配位的畸变的八面体构型。O3A 和 N1 位于八面体



Thermal ellipsoid plot of 30% level, all hydrogen atoms and free  $\text{H}_2\text{O}$  molecular are omitted for clarity in (a); Symmetry code, A:  $1-x, 1-y, -z$ ; B:  $x-1, y-1, z$ ; E:  $1-x, 1-y, 1-z$

图 2 (a) 配合物 **2** 的分子结构; (b) 分子之间的  $\text{O}-\text{H}\cdots\text{O}$  氢键和  $\pi-\pi$  堆积作用; (c) 配合物 **2** 的三维结构

Fig.2 (a) Molecular structure of **2**; (b)  $\text{O}-\text{H}\cdots\text{O}$  hydrogen bonds and  $\pi-\pi$  interactions between neighboring molecules; (c) 3D structure of **2**

的轴向位置,O3A-Mn1-N1 键角为  $164.60(5)^\circ$ 。O1,O2, O5 和 N2 位于八面体的赤道平面,各原子偏离平面的平均距离为  $0.0117 \text{ nm}$ 。 $\text{Mn}-\text{O}$ (羧基)的键长范围为  $0.2129(1)\sim0.2262(1) \text{ nm}$ , 平均键长为  $0.2208 \text{ nm}$ 。 $\text{Mn}-\text{N}$  的键长范围为  $0.2248(1)\sim0.2290(1) \text{ nm}$ , 平均键长为  $0.2269 \text{ nm}$ 。 $\text{Mn}-\text{O}$ (水分子)的键长为  $0.2145(1) \text{ nm}$ 。 $\text{O}-\text{Mn}-\text{O}$  的键角范围为  $58.36(4)^\circ\sim157.03(5)^\circ$ ,  $\text{N}-\text{Mn}-\text{N}$  的键角为  $73.24(5)^\circ$ 。

相邻配合物分子间的 1,10-邻菲咯啉之间存在着面-面间的  $\pi-\pi$  堆积作用(图 2b), 质心距离为  $0.3616 \text{ nm}$ , 两平面垂直距离为  $0.3380 \text{ nm}$ , 平面之间的夹角为  $0^\circ$ 。通过  $\pi-\pi$  堆积作用将配合物分子沿 *c* 轴方向形成一维链结构。此外, 游离水分子作为给予体同 1,2-环己二羧酸的羧基氧原子(O4)和配位水氧原子(O5)形成了氢键, $\text{O}6-\text{H}6\text{a}\cdots\text{O}4^{\text{B}}$ 、 $\text{O}6-\text{H}6\text{b}\cdots\text{O}4^{\text{B}}$ (对称操作  $\text{B}_{x-1, y-1, z}$ )和  $\text{O}6-\text{H}6\text{b}\cdots\text{O}5$ 。游离水分子做桥, 通过氢键作用将相邻配合物分子连接成层状结构(图 2b)。配合物中的配位水同相邻配合物中的 1,2-环己二羧酸的羧基形成了氢键, $\text{O}5-\text{H}5\text{b}\cdots\text{O}2^{\text{C}}$ (对称操作  $\text{C}_{-x, -y+1, -z}$ ), 通过此氢键, 将层状结构叠加形成三维超分子网状结构(图 2c)。氢键的相关数据列于表 3 中。

配合物 **1** 中 1,2-环己二羧酸的羧基以 *e,e-trans*(1111)的配位方式配位(图 3a), 两羧基的扭转角为  $55.27(5)^\circ$ , 配合物 **2** 中 1,2-环己二羧酸的羧基以 *e,a-cis*(1110)的配位方式配位(图 3b), 两羧基的扭转角为  $58.09(2)^\circ$ 。而文献中已报道的 1,2-环己二羧酸的羧基的配位方式有 *e,e-trans* (1110)<sup>[18]</sup>、*e,e-trans* (2121)<sup>[19]</sup>、*e,e-trans* (1211)<sup>[20]</sup>、*e,a-cis*(1111)<sup>[21]</sup> 和 *e,e-trans*(2110)<sup>[21-22]</sup>, 文中的配位方式到目前为止还未见报道。

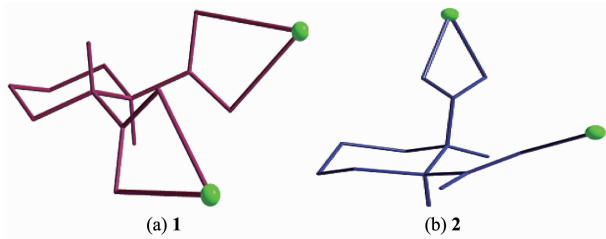


图 3 在配合物中 1,2-环己二羧酸配体的配位模式

Fig.3 Coordination modes of 1,2-chdc ligand in complexes

## 2.3 配合物的荧光光谱

室温下,在荧光分光光度仪上记录了配体和配合物的固态发射光谱。以  $350 \text{ nm}$  为激发波长, 测得

配体和配合物的发射光谱(图4)。配体1,2-环己二羧酸、2,2'-联吡啶和1,10-邻菲咯啉分别在402、405和408 nm处存在发射峰。配合物 $\mathbf{1}$ 和 $\mathbf{2}$ 在分别在415和414 nm处出现发射峰。配体和配合物的发射光谱相似,发射波长略有位移,可认为配合物的荧光来自于配体的 $\pi^*-\pi$ 荧光发射<sup>[25-26]</sup>。

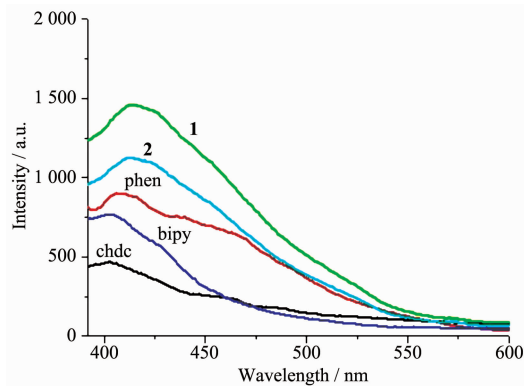


图4 配体和配合物的荧光光谱

Fig.4 Fluorescence spectra of the ligands and complexes

#### 2.4 配合物的差热-热重分析

两个配合物的热分解是分步进行的。配合物 $\mathbf{1}$ 和 $\mathbf{2}$ 分别在DTA曲线的159和150 °C有一个小的吸热峰,对应的TG曲线的失重率分别为6.23%和6.47%,相当于失去配位水和游离水分子(理论值分别为5.80%和6.25%)。两配合物分别在370和350 °C出现一个大的放热峰,对应的TG曲线上有失重,对应配合物中配体的氧化分解。在418 °C以后TG曲线趋于平滑,总失重率分别为73.21%和72.31%,最终残余物分别为Cd<sub>2</sub>O<sub>3</sub>和MnO<sub>2</sub>(理论总失重率分别为70.71%和79.89%)。

#### 参考文献:

- [1] Batten S R, Murray K S. *Coord. Chem. Rev.*, **2003**, *246*:103-130
- [2] Yao Y L, Xue L, Che Y X, et al. *Cryst. Growth Des.*, **2009**, *9*(1):606-610
- [3] Ono K, Yoshizawa M, Akita M, et al. *J. Am. Chem. Soc.*, **2009**, *131*:2782-2783
- [4] Yu M, Xie L H, Liu S X, et al. *Inorg. Chim. Acta*, **2007**, *360*:3108-3112
- [5] Li X, Zhang Y B, Shi M, et al. *Inorg. Chem. Commun.*, **2008**, *11*:869-872
- [6] WANG Li-Feng(王立锋), HU Yun-Xia(胡云霞), ZHANG Wen-Wei(章文伟), et al. *Chinese J. Inorg. Chem. (Wuji Huaxue Xuebao)*, **2011**, *27*(3):542-546
- [7] LIANG Hong (梁鸿), LEI Zhi-Hong(雷智鸿), LI Xia(李夏). *Chinese J. Inorg. Chem. (Wuji Huaxue Xuebao)*, **2010**, *26*(9):1595-1599
- [8] Hu M, Wang Q L, Xu G F, et al. *Inorg. Chim. Acta*, **2007**, *360*:1684-1690
- [9] Wu X S, Zhang Y B, Li X, et al. *J. Coord. Chem.*, **2009**, *62*(5):797-807
- [10] Dong L N, Tian Y, Li X, et al. *J. Coord. Chem.*, **2010**, *63*(12):2088-2096
- [11] Choi K Y. *J. Inorg. Organomet. Polym.*, **2010**, *20*:867-872
- [12] Chen J X, Ohba M, Zhao D Y, et al. *Cryst. Growth Des.*, **2006**, *6*(3):664-668
- [13] Chen B L, Frank R, Fronczek, et al. *Cryst. Growth Des.*, **2006**, *6*(4):825-828
- [14] Qi Y J, Li H, Cao M H, et al. *J. Mol. Struct.*, **2006**, *782*:32-35
- [15] Qi Y J, Wang Y H, Hu C W, et al. *Inorg. Chem.*, **2003**, *42*:8519-8523
- [16] Thirumurugan A, Sanguramath R A, Rao C N R. *Inorg. Chem.*, **2008**, *47*:823-831
- [17] Kurmoo M, Kumagai H, Akita-Tanaka M, et al. *Inorg. Chem.*, **2006**, *45*:1627-1637
- [18] Kim I H, Wang X Q, Jacobson A J. *Solid State Sci.*, **2010**, *12*(1):76-82
- [19] Thirumurugan A, Avinash M B, Rao C N R. *J. Chem. Soc., Dalton Trans.*, **2006**:221-228
- [20] Rao K P, Thirumurugan A, Rao C N R. *Chem. Eur. J.*, **2007**, *13*:3193-3201
- [21] Zheng Y Z, Xue W, Tong M L, et al. *Inorg. Chem.*, **2008**, *47*:11202-11211
- [22] Zheng Y Z, Tong M L, Zhang W X, et al. *Angew. Chem. Int. Ed.*, **2006**, *45*(38):6310-6314
- [23] Sheldrick G M. *SHELX-97, Program for X-ray Crystal Structure Solution*, University of Gottingen, **1997**.
- [24] Sheldrick G M. *SHELXL 97, Program for X-ray Crystal Structure Refinement*, University of Gobttingen, **1997**.
- [25] Li Z P, Xi P X, Huang L, et al. *Inorg. Chem. Commun.*, **2011**, *8*:1241-1244
- [26] Zhu P, Li H M. *J. Mol. Struct.*, **2011**, *992*(1):106-110